2008年 5月] 429

#### 謝辞

本稿に紹介した筆者らの研究は、国立国際医療センター研究所・消化器疾患研究部で土肥多恵子先生の御指導のもと行われました。また、愛知県がんセンター研究所・分子病態部の神奈木玲児先生、札幌医科大学・豊田実先生をはじめ、本研究を支えてくださいました諸先生方に心より感謝申し上げます。

- Montiel, M.D., Krzewinski-Recchi, M.A., Delannoy, P., & Harduin-Lepers, A. (2003) Biochem. J., 373, 369–379.
- Nagata, Y., Yamashiro, S., Yodoi, J., Lloyd, K.O., Shiku, H., & Furukawa, K. (1992) J. Biol. Chem., 267, 12082–12089.
- Dohi, T., Nishikawa, A., Ishizuka, I., Totani, M., Yamaguchi, K., Nakagawa, K., Saitoh, O., Ohshiba, S., & Oshima, M. (1992) Biochem. J., 288, 161–165.
- Morton, J.A., Pickles, M.M., & Vanhegan, R.I. (1988) Immunol. Invest., 17, 217–224.
- Dohi, T., Ohta, S., Hanai, N., Yamaguchi, K., & Oshima, M. (1990) J. Biol. Chem., 265, 7880–7885.
- Dohi, T., Hanai, N., Yamaguchi, K., & Oshima, M. (1991) J. Biol. Chem., 266, 24038–24043.
- Kawamura, Y.I., Kawashima, R., Fukunaga, R., Hirai, K., Toyama-Sorimachi, N., Tokuhara, M., Shimizu, T., & Dohi, T. (2005) Cancer Res., 65, 6220–6227.
- Morton, J.A., Pickles, M.M., & Vanhegan, R.I. (1988) *Immunol. Invest.*, 17, 217–224.
- Malagolini, N., Dall'Olio, F., Di Stefano, G., Minni, F., Marrano, D., & Serafini-Cessi, F. (1989) Cancer Res., 49, 6466–6470.
- Piller, F., Cartron, J-P., & Tuppy, H. (1980) Blood Transf. Immunohaematol., 23, 599–611.
- Capon, C., Maes, E., Michalski, J.C., Leffler, H., & Kim, Y.S.
  Biochem. J., 358, 657–664.
- 12) Dohi, T., Yuyama, Y., Natori, Y., Smith, P.L., Lowe, J.B., & Oshima, M. (1996) *Int. J. Cancer*, 67, 626–631.
- 13) Kawamura, Y.I., Toyota, M., Kawashima, R., Hagiwara, T., Suzuki, H., Imai, K., Shinomura, Y., Tokino, T., Kannagi, R., & Dohi, T. (2008) *Gastroenterology*, in press.
- 14) Miyazaki, K., Ohmori, K., Izawa, M., Koike, T., Kumamoto, K., Furukawa, K., Ando, T., Kiso, M., Yamaji, T., Hashimoto, Y., Suzuki, A., Yoshida, A., Takeuchi, M., & Kannagi, R. (2004) Cancer Res., 64, 4498–4505.
- 15) Dall'Olio, F., Malagolini, N., Di Stefano, G., Ciambella, M., & Serafini-Cessi, F. (1990) *Biochem. J.*, 270, 519–525.

河村 由紀

(国立国際医療センター研究所・消化器疾患研究部)

Sd<sup>a</sup> blood group carbohydrate antigen, exclusively expressed in normal gastrointestinal mucosa but not in cancer tissues Yuki I. Kawamura (Department of Gastroenterology, Research Institute, International Medical Center of Japan, 1–21–1 Toyama, Shinjuku-ku, Tokyo 162–8655, Japan)

## CCA 付加反応のダイナミクス

## 1. トランスファー RNA(tRNA)の 3'末端 CCA 配列

大腸菌からヒトにいたるあらゆる生物で、タンパク質は リボソームと呼ばれるタンパク質合成工場において、遺伝 子情報に基づいてアミノ酸をつなげて作られることが分 かっている. 遺伝子の情報は,一旦,遺伝子(DNA)か らRNA ポリメラーゼによってRNA に転写して書き換え られ、メッセンジャーRNA (mRNA) が作られる. この mRNA がリボソームと結合し、アミノ酸を先端に結合さ せたトランスファー RNA (tRNA) が mRNA と次々と結 合していき、tRNA の先端についたアミノ酸が順々につな がってタンパク質が完成する. さらに細かく言うならば, mRNA 上のコドン (3 塩基からなる遺伝情報の1単位) が、 tRNA を介して、1アミノ酸に変換されることで、タンパ ク質が合成されていく. したがって、tRNA はコドンとい うヌクレオチド配列の情報をアミノ酸配列の情報に変換す るアダプター分子として働く. L字型の高次構造をした tRNA の一方の末端には、アンチコドンという領域があ り, コドンと塩基特異的に水素結合を形成する. 一方, tRNAのもう一方の末端である3′末端に活性部位はCCA (C74-C75-A76) という決まった配列があり、アミノアシ ル tRNA 合成酵素が末端のアデノシンに特異的なアミノ酸 を結合させる.

tRNAの3′末端のCCA配列は、興味深いことに、大腸菌からヒトに至るまで全ての生物において保存されている。このCCA配列は、アミノ酸を受容するためだけではなく<sup>1)</sup>、リボソーム上で、リボソームRNAのペプチジル転移反応部位に水素結合を介して認識されるためにも必須である<sup>2)</sup>。真性細菌と古細菌の一部ではtRNAの遺伝子にCCA配列がコードされている。しかし、古細菌の多くと真核生物においては、ゲノム上にtRNAのCCA配列はコードされていない。そこで、CCA付加酵素というRNAポリメラーゼが存在し、tRNAの3′末端に新規にCCA配列を付加する。また、真性細菌にもCCA付加酵素が存在し、その遺伝子を欠失させると菌の増殖が悪くなる。その理由は、tRNAは最初RNAポリメラーゼによって3′末端にトレーラー配列という余分な配列を含んだ前駆体として転写され、この配列をRNase PHというエキソヌクレアー

ゼが1ヌクレオシドずつ切断していく際に、切り込みすぎて CCA 配列を失ってしまった場合、あるいは老化してtRNAが CCA 末端の一部を失った場合、CCA 付加酵素がこれを機能性 RNA に修復するためである.

CCA 付加酵素は、ヌクレオチジルトランスフェラーゼ ファミリーに属し、ポリAポリメラーゼ (PAP: 真核生 物で mRNA の 3'末端にポリアデニンを結合させる), ター ミナルデオキシヌクレオチジルトランスフェラーゼ (TdT: DNA の 3'末端に任意のdNTPを結合させる), DNA ポリメラーゼ b (pol b), カナマイシンヌクレオチジ ルトランスフェラーゼ(KNT)などが同じ酵素ファミリー に属する. このうち, pol b などは, DNA の鋳型にした がってその相補鎖を合成するのに対し、CCA 付加酵素や PAP, TdT は、同じ核酸の重合反応を触媒するにもかかわ らず DNA の鋳型を必要としない、鋳型非依存性ポリメ ラーゼである. さらに、PAPやTdT は重合する(d)NTPが 1種類あるいは任意であり、その数も任意であるのに対 し、CCA付加酵素は、CCAという決まった配列の3ヌク レオシドを正確に付加する点で、極めて精巧な仕組みを備 えた鋳型非依存性 RNA ポリメラーゼである. 25 年以上前 から、CCA付加酵素はC,C,Aのそれぞれに特異的な三 つのポケット (活性部位) を持つとか, 活性部位は一つで あるがtRNAが徐々に動いてCCAが結合される、など 様々な仮説が提唱されてきた. しかし, これまでのとこ ろ、CCA 付加酵素がどのようにして核酸の鋳型の助けを 借りずに決まった配列を合成できるのかについては未解決 であった.

### 2. 二つのクラスの CCA 付加酵素

興味深いことに、同じ反応を触媒し、基質である tRNA を交換することも可能であるにもかかわらず、真性細菌および真核生物由来の CCA 付加酵素と古細菌由来の CCA 付加酵素ではアミノ酸配列の相同性がほとんどない。そこで、真性細菌および真核生物由来の CCA 付加酵素はクラス I と呼ばれてきた。一方、アミノ酸配列の相同性から、真核生物および真性細菌のポリ A ポリメラーゼ (真性細菌の酵素は mRNA の分解過程に働く) はクラス I、古細菌のポリ A ポリメラーゼ(真性細菌のポリ A ポリメラーゼはクラス I に属している。 2002 年に、中等度好熱菌 Bacillus Stearothermophilus 由来の CCA 付加酵素の結晶構造が Stearothermophilus 由来の Stearothermophilus 由来の Stearothermophilus 由来の Stearothermophilus 由来の Stearothermophilus 付加酵素の結晶構造が Stearothermophilus の Stearothermophilus (図 Stearothermophilus ) (図 Stearothermophilus (図 Stearothermophilus ) (図 Stearothermophilus (図 Stearothermophilus ) (図 Stearothermophilus ) (図 Stearothermophilus (図 Stearothermophilus ) (図 Stearothermophilus (図 Stearothermophilus ) (図 Stearothermophilus ) (図 Stearothermophilus (図 Stearothermophilus ) (Stearothermophilus ) (Stearothermophilus ) (Stearothermophilus ) (Stearothermophilus ) (Stearothermophilus ) (Stearothermophil

アミノ酸配列の相同性から推定されたように、真性細菌由来のクラスII CCA 付加酵素は、古細菌由来のクラスI CCA 付加酵素とは、ドメインの配置もその構造も(後述の触媒ドメインを除いては)全く異なっていた(図1). 一方、クラスIの CCA 付加酵素の構造は、真核生物のポリAポリメラーゼの構造と良く似ていた<sup>4.5)</sup>(図1). さらに、ヌクレオチド(ATP、CTP)の認識に関しては、クラスIとIIでは、その認識様式は大きく異なっていた. このことから、クラスIとクラスIIの CCA 付加酵素は、極めて古い時期に分岐して以来、独自の分子進化を経て、構造の異なる二つの分子に進化したと考えられる.

これら2種類の結晶構造から、クラスIのCCA付加酵 素もクラスIIのCCA付加酵素も共に、N末端にポリメ ラーゼなどのヌクレオチジルトランスフェラーゼに共通し たドメインを持っており、これが触媒ドメインであると考 えられる. さらに, 両クラスとも, ヌクレオチドのポケッ トは一つで、一つのポケットで ATP と CTP の両方を認識 できることが明らかになった5~7).かつて、CCA付加酵素 はC,C,Aに対する三つのポケットを持つと考えられた 時期もあったが、本結晶構造解析の結果よりこの仮説は否 定された.しかし、CCA付加酵素が、いかにして核酸の 鋳型の助けを借りずに、C、C、Aを順々に結合していけ るのかというダイナミックな反応機構は未だ明らかでな かった. 我々は CCA 付加酵素と末端のアデノシンを欠い たtRNAプライマーと基質 ATP の3者複合体の結晶構造 を解明し、CCA 付加酵素は DNA の鋳型の代わりにタンパ ク質性の鋳型によって新規ヌクレオチドと tRNA プライ マーの末端を認識することで、定まった CCA 配列を重合 することを明らかにしている6~8).

# 3. クラス I CCA 付加酵素による重合反応のスナップ ショット

最近、我々はクラスI(Archaeglobus fulgidus 由来)のCCA付加酵素と様々な伸長段階の3<sup>°</sup>末端を持つプライマーtRNAミニへリックスと基質となるNTPの3者複合体の結晶構造計六つを、分解能2.5-2.8<sup>Å</sup>で決定し、ダイナミックな付加反応のスナップショットを撮ることに成功した<sup>9)</sup>. ミニヘリックスはtRNAのアクセプターステムとTYCアームから構成されるtRNAの1ドメイン(ヘリックス)で、CCA付加酵素に対して完全な基質として働くことが報告されている。また、我々は、各伸長段階を、mini-Dステージ(tRNAプライマー末端がD73)、mini-DCステージ(末端がC74)、mini-DC+CTPステージ,mini-DC+CTPステージ、mini-DC+CTPステージのMini-DC+CT

DCC ステージ (末端が C75), mini-DCC+ATP ステージ, mini-DCCA ステージ (末端が A76) と命名し, さらに 2004 年にエール大学の Steitz 博士らが Nature に発表した A. fulgidus 由来 CCA 付加酵素と完全長 tRNA との複合体の結晶構造 (6Å分解能) を release ステージとして加え, ムービーを作成した $^{9}$ . 2004 年に Steitz 博士らが提唱した CCA 付加反応の動的機構では,三つの結晶構造のうち二つが低分解能であり,解釈に誤りがあったため,我々はこれを修正した.

クラスIのCCA付加酵素は、head、neck、body、tailド メインから構成されていた (図 2a). まず, すべての段階 の結晶構造に共通のこととして、tRNA ミニへリックスの TΨC ループが酵素の tail ドメインによってしっかり 認識 されており、tRNA プライマーは酵素の上を動くことがで きないよう固定されていた (図 2b). 現に tail ドメインを 欠失した変異体 CCA 付加酵素は、tRNA のゲルシフト解 析においても、RNA に対する結合能を失い、RNA 重合活 性も著しく低下していた<sup>4)</sup>. また,tRNA プライマーのス テム領域は、リン酸やリボースなどの親水性骨格が、塩基 非特異的に、neck、body ドメインからの親水性相互作用 によって認識を受けていた (図 2d). また, 酵素の活性部 位に入ってきた tRNA プライマーの末端のヌクレオシドが 収納されるポケットを、活性部位に近い方からP部位、 S1 部位, S2 部位と命名し, 新規のヌクレオチドが結合す るポケットをN部位(塩基部分)およびT部位(3リン 酸部分) と命名した (図 2c).

最初の mini-D ステージでは、ディスクリミネーターD73(ここでは A73)が張り出して head ドメインのポリメラーゼ活性部位である catalytic triad(Glu59,Asp61,Asp110)の近傍の S1 部位に来ていた(図 3). しかし次のmini-DC ステージでは、A73 が 1 塩基分引っ込んで S2 部位に入り、C74 が S1 部位に来ていた.ここで思い出していただきたいことは、tRNA プライマーは CCA 付加酵素に固定されており、動けないはずであった.実は mini-D ステージと mini-DC ステージの間では、tRNA プライマーのステムが伸縮していたのである.すなわち、ステムの末端から 8、9 番目の塩基対が開裂し、ステムは 1 塩基分伸びて A73 を S1 部位に届かせていた.その後 C74 が A73に重合すると、ステムは 1 塩基分縮んでもとの構造に戻り、C74 が S1 部位に納まったわけである(図 3).

mini-DC ス テ ー ジ で は, S1 部 位 の C74 は, Glu96・Ala126 (・は水素結合), His97・Ser125 が形成する水素結合のプラットフォームに由来する相互作用によって固定さ

れていた(図3). His97 を Ala に置換した変異体では、CMPの取り込み、さらに次の段階の AMPの取り込み活性が上昇しており、これらのアミノ酸残基によって C74の動きが抑制されていることが示唆される.

ところが、ここに CTP を加えた mini-DC+CTP ステージでは、head ドメインが neck ドメインに向かって大きく動き、閉構造をとっていた(図 4). これと呼応して Glu96 も大きく動き、固定が外れた C74 のシチジン塩基はフリップアウトして新規に入ってきた CTP のシチジン塩基とスタッキングしていた(図 3、4). また、head ドメイン上の catalytic triad が CTP の 3 リン酸および C74 のリボースに近づき、RNA 重合反応を触媒することが推定された.したがって、CMP が重合する過程は、head ドメインが首を振る knock-in ダイナミクスによって駆動されることが示唆された.

この CTP が C75 として重合された mini-DCC ステージでは、C74 は S1 部位に戻っていたが、C75 はすでにポケットがいっぱいなため、P 部位にとどまっていた.そして C74、C75 はそれぞれ Glu96、Thr130 による水素結合によって固定されていた(図 3).この結果、CCA 付加酵素の head ドメインの閉構造も固定されていた.そして mini-DC+ATP ステージでは、空いた N・T 部位に ATP が、酵素の構造変化を伴わずに入ってきて、重合反応を受け、mini-DCCA ステージの構造になっていた.

通常のtRNAでは、CCA末端は塩基部分がお互いにスタッキングし、D73から連なるスタッキング構造をとって安定化している。2004年にSteitz博士らが発表したreleaseステージの構造では、headドメインが大きく開き、D73、CCAがスタッキングしている(図3)。したがって、最終的にCCA、D73がスタッキング構造をとることで、headドメインを大きくこじ開け、酵素との親和性の低下した成熟末端を持つtRNAは解離していくものと考えられる。

それでは、CCA付加反応の最初と2番目の反応ではなぜCTPが選択され、最終反応ではATPが選択されるのであろうか。まずこれら3段階を通じて、CTPおよびATPの環外アミノ基はA73およびC74のリン酸基により水素結合を受けて認識されており、CTPおよびATPが優先的に選択されている。そして最初と2番目の反応では、headドメインが首振り構造変化をするのと呼応して、Arg224の側鎖が活性部位に伸長し、新規に入ってきたCTPの塩基を2本の水素結合で認識していた(図3)。これらの段階では、活性ポケットにおける立体障害により、ATPの取り込みは阻害されている。最終段階では、headドメイ

(生化学 第 80 巻 第 5 号

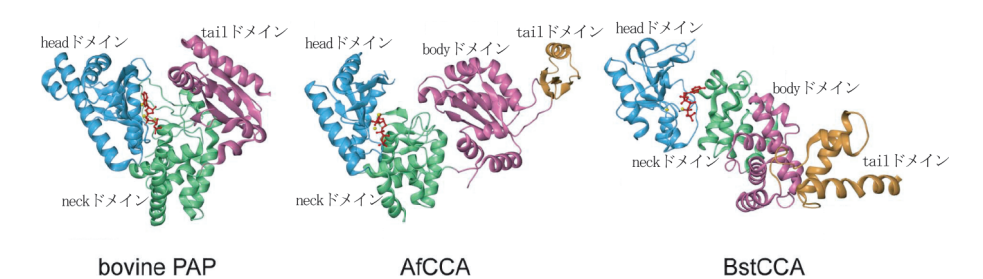


図 1 ウシ PAP, クラス I (Archaeglobus fulgidus CCA 付加酵素, AfCCA) およびクラス II (Bacillus stearothermophilus CCA 付加酵素, BstCCA) の CCA 付加酵素の結晶構造の比較

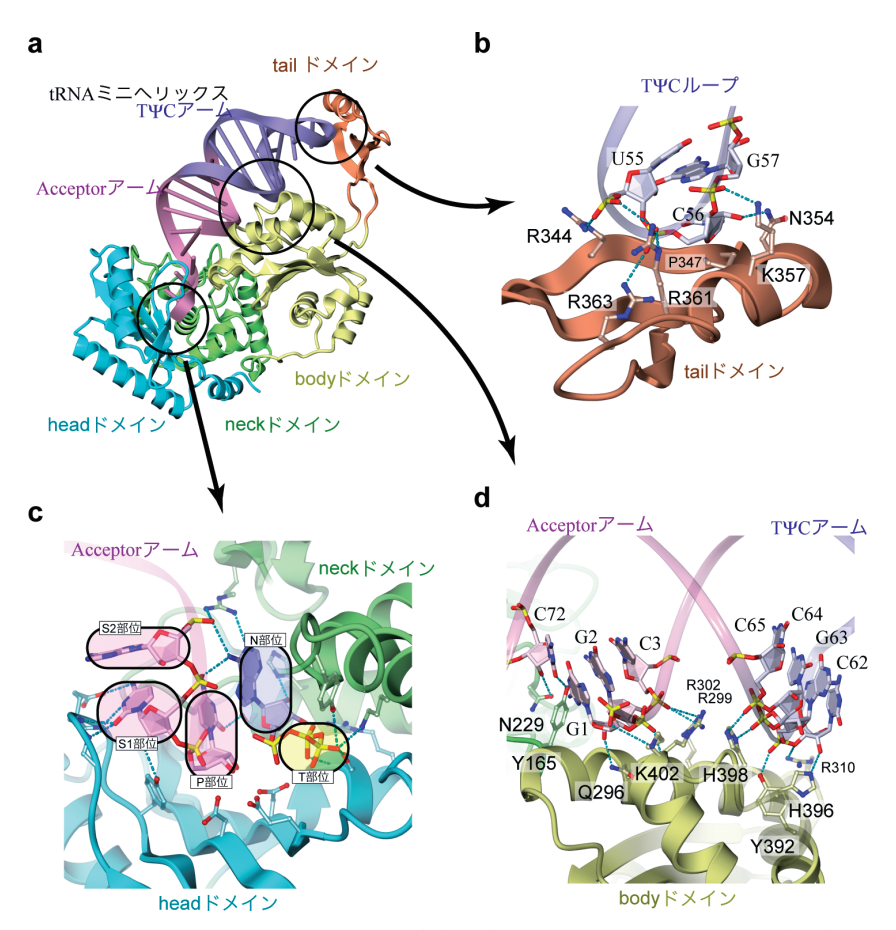
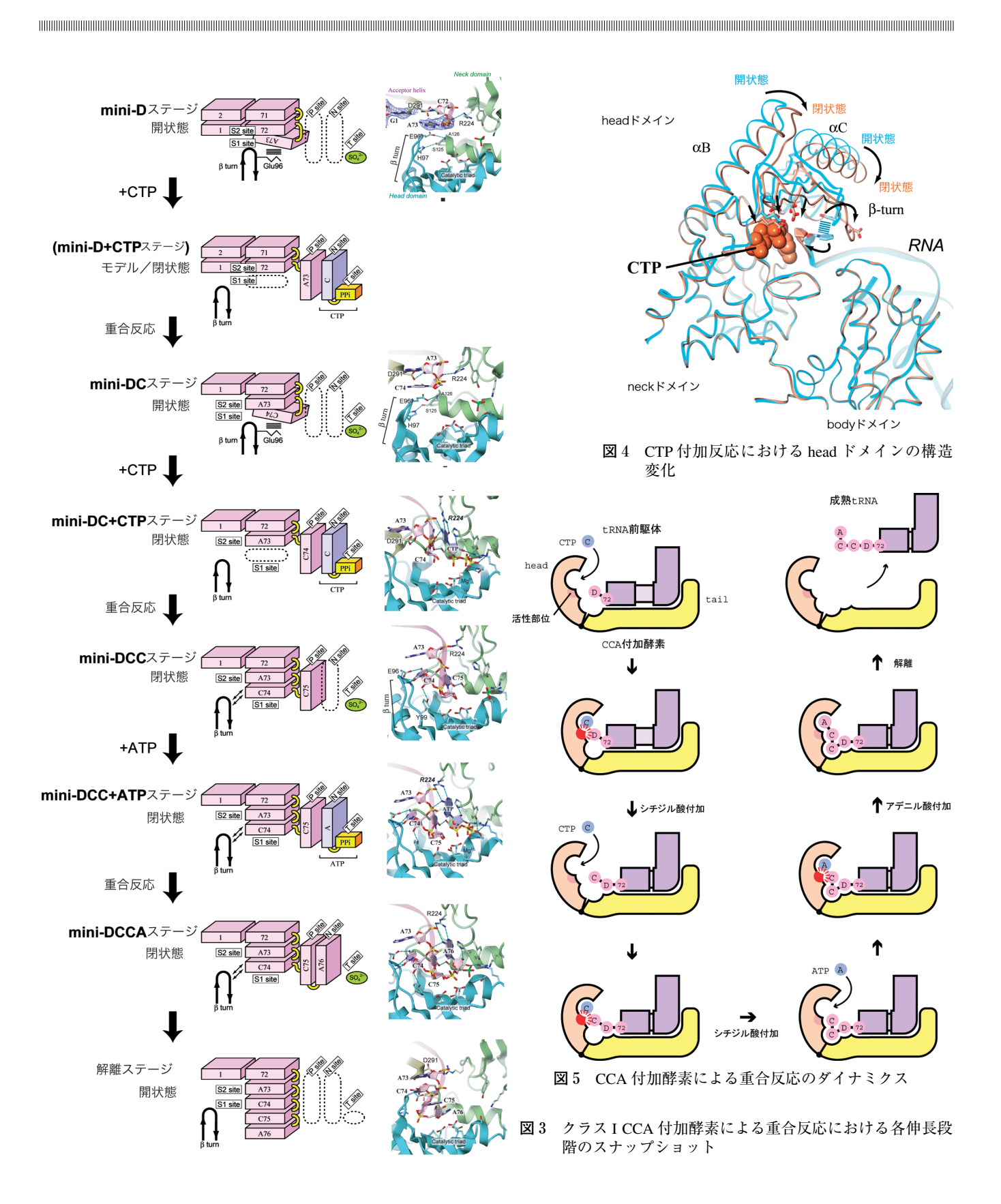


図 2 Archaeglobus fulgidus 由来 CCA 付加酵素と tRNA ミニヘリックスの複合体の 結晶構造

(a)全体構造 (b) tail ドメインによる TΨC ループの認識 (c) 活性部位におけるプライマー末端,新規ヌクレオチドの認識 (d) body ドメインによるステムの認識

2008年 5月〕 433



ンの閉構造が固定されており、Arg224 はより安定な折れ曲がった構造をとることで、活性ポケットの空間には余裕が生じ、より大きな ATP が優先的に取り込まれると考えられる (図 3).

### 4. CCA 付加反応のダイナミクス

以上の動的なCCA付加反応機構を,我々はVice-anchored knock-in-and-lock ダイナミクスと称した (図 5). すなわち.

- 1) まず、tRNAのL字型構造の角の部分(コア)はCCA 付加酵素のtail ドメインによって固定される.
- 2) さらに、アクセプター・TΨCステムは1塩基分伸長 し、D73 (ここではA73) が活性部位に近づく.
- 3) 最初の CTP が入ってくると, head ドメインは knock-in ダイナミクスにより首を振り, A73 がフリップアウトして最初の RNA 重合反応が起こる.
- 4) A73, C74 はそれぞれ S2 部位, S1 部位に戻り, アクセプター・TYC ステムは収縮し, 元の構造を復活する.
- 5) 2番目の CTP が入ってくると、head ドメインは再び首 を振って閉構造をとり、 C74 がフリップアウトして CMP が重合する.
- 6) C74 はS1 部位に戻るが、C75 はP部位にとどまり、 C74、C75 はロックされて、酵素の閉構造も固定される.
- 7) 空いた N・T ポケットに ATP が入り, 最後の RNA 重 合反応が起こり, CCA 重合反応は終結する.
- 8) CCA は D73 (A73) とスタッキング構造をとるため, head ドメインがこじ開けられて, 酵素は超開構造をとり, tRNA が解離する.

これらの動的な反応機構は、さらに鋳型非依存性ポリメラーゼの反応に関して、新たな知見を与える。CCA付加酵素では、tRNAプライマーがtailドメインによって固定されて動けないため、3ヌクレオシドの重合反応で活性ポケットがいっぱいになると、反応は終結する。ところが、クラスICCA付加酵素とよく似た構造を持つ前出の真核生物のポリAポリメラーゼは、tailドメインを欠損している。このため、mRNAプライマーは固定されておらず、ポリAポリメラーゼ上を動いて行けるため、数多くのアデニンが重合し、ポリA配列が付加されるのであろうと考えられる。

 Sprinzl, M. & Cramer, F. (1979) Prog. Nucleic Acid Res. Mol. Biol., 22, 1–69.  Nissen, P., Hansen, J., Ban, N., Moore, P.B., & Steitz, T.A. (2000) Science, 289, 920–930.

- Li, F., Xiong, Y., Wang, J., Cho, H.D., Tomita, K., Weiner, A. M., & Steitz, T.A. (2002) Cell, 111, 815–824.
- Okabe, M., Tomita, K., Ishitani, R., Ishii, R., Takeuchi, N., Arisaka, F., Nureki, O., & Yokoyama, S. (2003) EMBO J., 22, 5918–5927.
- Xiong, Y., Li, F., Wang, J., Weiner, A.M., & Steitz, T.A. (2003) Mol. Cell, 12, 1165–1172.
- Tomita, K., Fukai, S., Ishitani, R., Ueda, T., Takeuchi, T., Vassylyev, D.G., & Nureki, O. (2004) *Nature*, 430, 700–704.
- 7) Xiong, Y. & Steitz, T.A. (2004) Nature, 430, 640-645.
- Schimmel, P. & Yang, X.-L. (2004) Nat. Struct. Mol. Biol., 11, 807–808.
- Tomita, K., Ishitani, R., Fukai, S., & Nureki, O. (2006) Nature, 443, 956–960.

濡木 理

(東京工業大学大学院生命理工学研究科生命情報専攻)

Dynamic mechanism of CCA-adding polymerization reaction Osamu Nureki (Department of Biological Information, Graduate School of Bioscience and Biotechnology, Tokyo Institute of Technology, 4259 Nagatsuta-cho, Midori-ku, Yokohama-shi, Kanagawa 226–8501, Japan)

## 極長鎖脂肪酸代謝と疾患

### 1. はじめに

極長鎖脂肪酸(炭素数 C22 以上)は生体成分としては 微量であるが、生理・病理的に重要な役割を担っているこ とが明らかにされてきている. 例えば, C24や26の飽和 および一価不飽和極長鎖脂肪酸は脳に比較的多く、その大 部分はミエリンに存在している. ミエリン膜にはコレステ ロールとスフィンゴミエリンに富んだラフト構造が存在 し, ラフト外膜側のスフィンゴ脂質の飽和極長鎖脂肪酸 (C22:0-C26:0) が内膜側のリン脂質と相互作用するこ とでラフト構造が安定に維持されると考えられている」. また極長鎖脂肪酸延長酵素(ELOVL4)に変異をもつ患者 やノックアウトマウスの解析より、C26-C36の極長鎖脂 肪酸は網膜光受容体の機能や皮膚のバリアー形成に必須で あることが明らかにされた2.一方,極長鎖脂肪酸の蓄積 はペルオキシソーム病と呼ばれる疾患と関連している. ペ ルオキシソーム病のひとつである副腎白質ジストロフィー (ALD) では患者脳に極長鎖脂肪酸が異常に蓄積し、神経